

# 夸克组合律和 $B\bar{B}$ 关联

方海平

(燕山大学物理系, 秦皇岛)

## 摘要

本文详细分析了文献[1]给出的夸克组合律在解释  $e^+e^-$  湮灭成两喷注过程中  $B\bar{B}$  关联的优缺点。而后, 进一步假设单个 jet 中真空激发产生的夸克反夸克必须成对出现, 由此计算得到的  $B\bar{B}$  关联与实验基本一致。

自 1981 年实验上发现重子反重子(记  $B\bar{B}$ )的产额不能忽略以来,  $B\bar{B}$  关联一直受到人们的关注。为了解释重子和反重子的产额 LUND 模型<sup>[2]</sup> 引入了双夸克对  $qq\bar{q}\bar{q}$  的真空激发产生, 这种模型不但引入了许多自由参数, 并且它所预言  $B\bar{B}$  必须相邻产生, 其相互之间有较强的关联, 是与实验不符的<sup>[3]</sup>。

考虑到强子由夸克组成, 高能多重产生首先产生的是夸克反夸克, 然后它们组成强子。在[1]中, 谢去病等给出了夸克组合成强子的规律, 即夸克组合律: 夸克反夸克在快度轴上的各种排列等几率出现; 快度最邻近的夸克反夸克首先组合成强子。它不需要引入任何参数, 便成功地解释了  $e^+e^-$  湮灭成两喷注中重子反重子的产额及其随能量的变化关系。按照夸克组律, 组合成的  $B\bar{B}$  之间有以下性质:

i) 在快度轴上,  $B\bar{B}$  之间可以间隔介子, 并且  $B\bar{B}$  出现的相对几率随间隔介子数  $\Delta M$  增加而减小。这是因为: 夸克反夸克在快度轴上的各种排列等几率出现, 组合成的强子的各种排列也几乎是等几率的, 这样  $B\bar{B}$  出现的相对几率就会随  $\Delta M$  的增加而减小。例如, 若共组合成两个介子  $MM$  和一对重子反重子  $B\bar{B}$ , 快度轴上的各种可能排列如图 1 所示。若各种排列等几率出现, 间隔介子数  $\Delta M = 0, 1, 2$  的  $B\bar{B}$  出现的相对几率为 3:2:1。我们用

$$\begin{aligned} \Delta M = 0 & B\bar{B}MM \quad MB\bar{B}M \quad MMB\bar{B} \\ & \bar{B}BMM \quad M\bar{B}BM \quad MM\bar{B}B \\ \Delta M = 1 & BM\bar{B}M \quad MBM\bar{B} \\ & \bar{B}MBM \quad M\bar{B}MB \\ \Delta M = 2 & BMM\bar{B} \quad \bar{B}MMB \end{aligned}$$

图 1 两个介子和一对重子反重子的各种可能排列

Monte-Carlo 计算证实了这一点, 图 2 给出了夸克对数  $N = 12$  时, 组成的  $B\bar{B}$  数目随  $\Delta M$  的变化关系。

ii)  $\Delta M$  越大,  $B$  和  $\bar{B}$  的快度差一般也越大, 因此,  $B\bar{B}$  出现的相对几率随它们快度差  $|Y_B - Y_{\bar{B}}|$  的增加而减小。假设了夸克的四动量分布(按照[4], 能量分布为倒数分布,

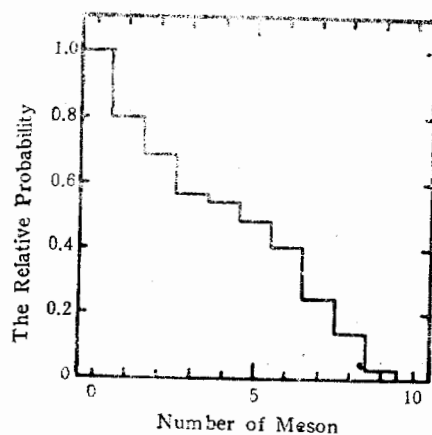


图 2  $N = 12$  时组成的  $B\bar{B}$  的相对几率随  $B\bar{B}$  之间介子数  $\Delta M$  的变化关系

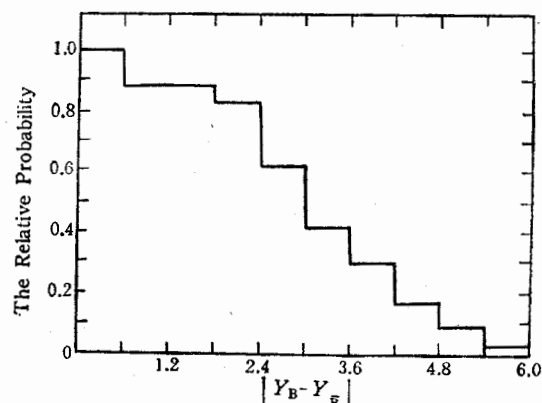


图 3  $\sqrt{s} = 34 \text{ GeV}$  下轻夸克 jet 事例直生  $B\bar{B}$  相对几率随  $B\bar{B}$  快度差  $|Y_B - Y_{B-bar}|$  的变化关系

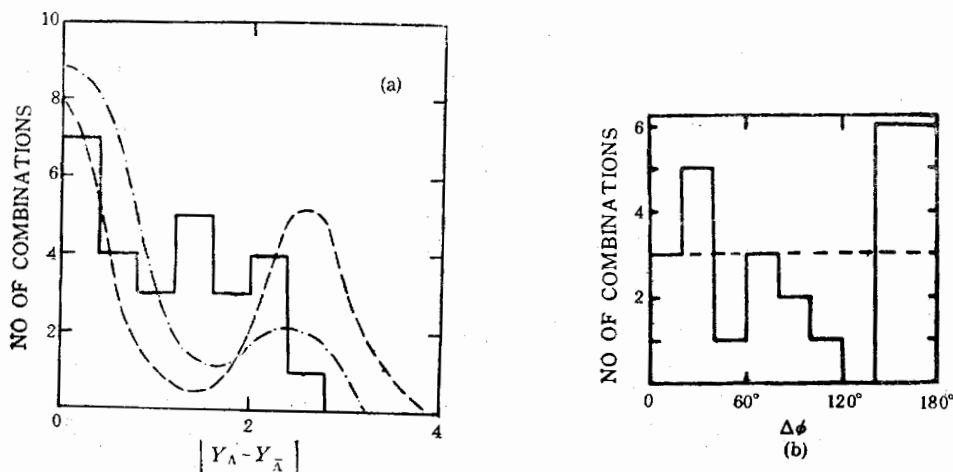
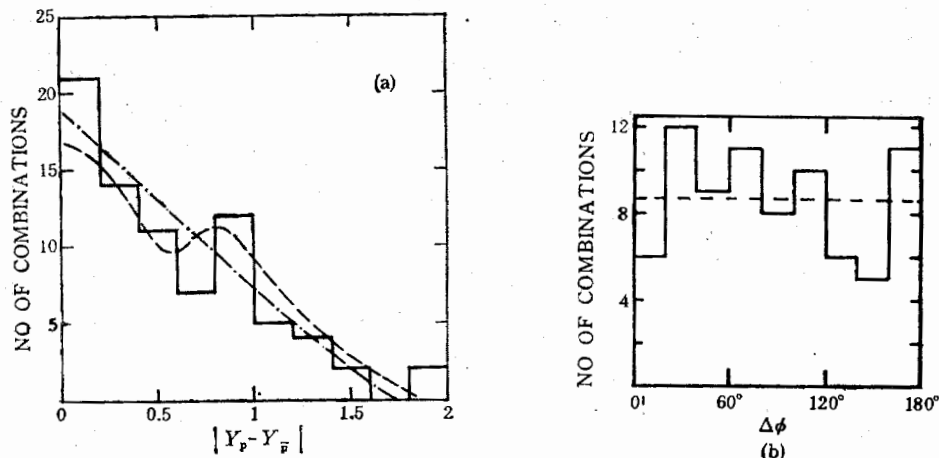
横动量分布为高斯分布,以后如不加说明,计算中输入的夸克四动量分布就是上述分布)后,在图 3 中给出了用 Monte-Carlo 计算得到的  $\sqrt{s} = 34 \text{ GeV}$  下轻夸克 jet 事例(对应夸克平均对数为 11.3)直生  $B\bar{B}$  出现的几率随它们快度差  $|Y_B - Y_{B-bar}|$  的变化关系。

iii)  $B\bar{B}$  数目与它们横动量夹角  $\Delta\phi$  几乎无关。因为重子反重子由三个夸克或反夸克组合而成,而夸克反夸克之间除了整个夸克系统的能量动量守恒外,相互之间几乎是互相独立的,因而  $B\bar{B}$  动量之间几乎是互相独立的。

iv) 由于夸克反夸克在快度轴上的各种可能排列等几率出现,任何一对夸克反夸克出现在同一 jet 或不同 jet 中的几率相等,而重子反重子由快度邻近的三个夸克或反夸克组合而成,因而  $B\bar{B}$  中  $B$  和  $\bar{B}$  在同一 jet 中和分别在不同 jet 中的几率相等。

这些性质,除 iv) 外,定性上都与目前实验给出的  $B\bar{B}$  关联数据一致。图 4 和图 5 中实线分别是实验给出的  $\Lambda\bar{\Lambda}$  关联<sup>[5]</sup>和  $p\bar{p}$  关联<sup>[6]</sup>,虚线则是 Monte-Carlo 计算得到的轻夸克 jet 事例的  $\Lambda\bar{\Lambda}$  关联和  $p\bar{p}$  关联。对  $\Lambda\bar{\Lambda}$  关联,理论和实验都是  $\sqrt{s} = 29 \text{ GeV}$  下的;对  $p\bar{p}$  关联,理论是  $\sqrt{s} = 34 \text{ GeV}$  下的,实验则是  $\sqrt{s} = 14, 22$  和  $34 \text{ GeV}$  三个能量下事例叠加起来的结果,其中大部分是  $\sqrt{s} = 34 \text{ GeV}$  下的事例。

但是,基于以上夸克组合律计算得到的  $B\bar{B}$  关联数据与实验并不全部相符。实验<sup>[7]</sup>给出,对  $\sqrt{s} = 29 \text{ GeV}$  下平均 jet 事例,  $P$  和  $\bar{p}$  在同一 jet 内的  $p\bar{p}$  数目比  $P$  和  $\bar{p}$  不在同一 jet 内的  $p\bar{p}$  数目要多得多,明显排斥 iv)。而且,在考虑  $B\bar{B}$  产生的相对几率随它们快度差  $|Y_B - Y_{B-bar}|$  的变化关系时,我们按对应实验<sup>[5,6]</sup>要求挑选  $B$  和  $\bar{B}$ :  $a < |\vec{p}| < b$ , 式中  $\vec{p}$  是  $B$  或  $\bar{B}$  的动量,  $a$  和  $b$  是常数,并且  $0 < a < b$ 。当  $B$  和  $\bar{B}$  的纵动量方向(或快度方向)相同时,它们在同一 jet 内,  $|Y_B - Y_{B-bar}|$  很小,而当它们纵动量方向不同时,不在同一 jet 内,  $|Y_B - Y_{B-bar}|$  则较大。所以,  $B\bar{B}$  事例主要集中在  $|Y_B - Y_{B-bar}|$  很小和较大两个区域。大量  $B$  和  $\bar{B}$  不在同一 jet 的  $B\bar{B}$  的存在(性质 iv))使  $|Y_B - Y_{B-bar}|$  较大时,  $B\bar{B}$  产生的几率不可忽略。我们的计算证实了这一点。在图 4a 和图 5a 虚线中当  $|Y_B - Y_{B-bar}|$  较大时,

图 4  $\Lambda\bar{\Lambda}$  关联. 实线是实验数据, 虚线、点划线为理论曲线a)  $|Y_\Lambda - Y_{\bar{\Lambda}}|$ :  $\Lambda\bar{\Lambda}$  之间快度差; b)  $\Delta\phi$ : 横动量之间夹角图 5  $p\bar{p}$  关联. 实线是实验数据, 虚线、点划线为理论曲线a)  $|Y_p - Y_{\bar{p}}|$ :  $p\bar{p}$  之间快度差;b)  $\Delta\phi$ :  $p\bar{p}$  横动量之间夹角

有个峰, 与实验不符. 为此, 将以上夸克组合律解释的  $B\bar{B}$  关联作了以下改进:

考虑到夸克反夸克必须成对产生, 在此我们进一步假设: 真空激发产生的夸克反夸克必须成对出现在同一 jet 中. 这样, 由于存在同一 jet 中的量子数守恒, 使  $B$  和  $\bar{B}$  在同一 jet 中产生的相对几率增大, 不在同一 jet 中的  $B\bar{B}$  产生的相对几率相对减小. 我们通过 Monte-Carlo 计算, 在二万个  $\sqrt{s} = 29\text{GeV}$  下轻夸克 jet 事例中, 按实验<sup>[7]</sup>要求选择  $P$  和  $\bar{p}$  后, 得到  $P$  和  $\bar{p}$  在同一 jet 中的  $p\bar{p}$  数目为 453 个, 远大于不在同一 jet 中的  $p\bar{p}$  数目 271. 而且,  $B\bar{B}$  出现的相对几率随  $|Y_B - Y_{\bar{B}}|$  的变化关系也有改善, 如图 4a 和图 5a 的点划线所示. 可以看出, 对  $\Lambda\bar{\Lambda}$  关联, 峰值明显下降, 而对  $p\bar{p}$  关联, 峰几乎不再存在. 这些都与实验一致.

本文的前半部分是作者导师谢去病教授指导下完成的,作者深表感谢.

### 参 考 文 献

- [1] Xie Qu-bing, Liang Zuo-tang, in *Multiparticle Production Proc. of the Shandong workshop*, Jinan, 1987, edited by R. C. Hwa and Q-B Xie (World Scientific, Singapore, 1988).
- [2] B. Andersson et al., *Phys. Rep.*, **97**(1983), 33.
- [3] B. Andersson et al., *Phys. Script.*, **32**(1985), 574.
- [4] 方海平等,高能物理与核物理, **13**(1989),518.
- [5] C. de la Vaissiere et al., *Phys. Rev. Lett.*, **54**(1985), 2071.
- [6] M. Althoff et al., *Z. Phys.*, **C17**(1983), 5.
- [7] M. Althoff et al., *Phys. Lett.*, **139B**(1984), 126.

## QUARK COMBINATION RULE AND $B\bar{B}$ CORRELATIONS

FANG HAIPING

(Department of Physics, Yanshan University, Qinhuangdao)

### ABSTRACT

We analyse in detail the advantage and disadvantage of the Quark Combination Rule in the explanation of  $B\bar{B}$  correlations. Under the assumption that quarks and antiquarks in one jet must be in pairs, the  $B\bar{B}$  correlations calculated are consistent with the experiment on the whole.